

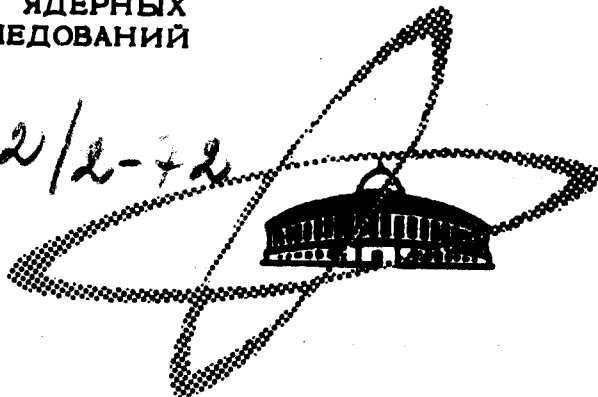
6/III-72

Д-427

ОБЪЕДИНЕННЫЙ  
ИНСТИТУТ  
ЯДЕРНЫХ  
ИССЛЕДОВАНИЙ

Дубна

732/2-42



P14 - 6205

А.А.Джураев, В.С.Евсеев, Ю.В.Обухов,  
В.С.Роганов

Лаборатория ядерных проблем

ЗАВИСИМОСТЬ ДЕПОЛЯРИЗАЦИИ  
ОТРИЦАТЕЛЬНЫХ МЮОНОВ  
ОТ МОЛЕКУЛЯРНОГО ВЕСА И ТЕМПЕРАТУРЫ  
В ОРГАНИЧЕСКИХ СОЕДИНЕНИЯХ

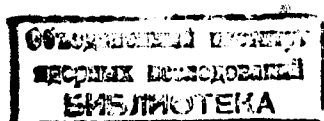
1971

P14 - 6205

А.А.Джураев, В.С.Евсеев, Ю.В.Обухов,  
В.С.Роганов

ЗАВИСИМОСТЬ ДЕПОЛЯРИЗАЦИИ  
ОТРИЦАТЕЛЬНЫХ МЮОНОВ  
ОТ МОЛЕКУЛЯРНОГО ВЕСА И ТЕМПЕРАТУРЫ  
В ОРГАНИЧЕСКИХ СОЕДИНЕНИЯХ

*Направлено в ЯФ*



В последние годы значительно выросло число работ, в которых исследуется деполяризация отрицательных мюонов в веществе. Особое внимание в этих работах уделяется рассмотрению воздействия окружающей среды на деполяризацию мюонов в мезоатомах в процессе их образования и после завершения стадии каскадных переходов в основное состояние, на химические реакции с мезоатомом. В предыдущих наших работах<sup>/1,2/</sup> эти вопросы подробно обсуждаются.

В данной работе исследуются, в основном, три вопроса: 1) захват мюонов различными компонентами в химических соединениях, 2) деполяризация отрицательных мюонов в ряду алифатических спиртов, 3) температурная зависимость деполяризации в этиловом спирте, бензоле и стироле.

Деполяризация измерялась методом прецессии мюона в магнитном поле. Аппаратура для определения остаточной поляризации мюонов и их времени жизни описана ранее<sup>/3/</sup>. Измерения выполнены на сепарированном пучке отрицательных мюонов с импульсом 150 Мэв/с из мезонного канала синхроциклотрона ОИЯИ с примесью остановок пионов меньше 0,002. Использовался растянутый во времени пучок, лишенный временной структуры, с поляризацией  $0,75 \pm 0,047$ .

Импульсы от остановок мюонов (от трех счетчиков в совпадении) и от электронов распада (от трех счетчиков в совпадении) управляли работой конвертора, который преобразовывал временной интервал между

этими двумя импульсами в сигнал переменной амплитуды для регистрации 100-канальным анализатором с шириной канала 74 нсек. Использовалась система блокировки входа анализатора при появлении второго импульса от остановок мюонов или от электронов в интервале 12 мкsec "до" нуля времени 8 мкsec - "после". Электроны распада регистрировались в течение 4 мкsec. Мишени  $120 \times 120 \text{ mm}^2$  и толщиной около  $6\text{g}/\text{cm}^2$  помещались в магнитное поле напряженностью 50 гс. Поправки в значения коэффициента асимметрии на разные толщины мишеней не превосходили нескольких процентов.

Обработка временного распределения электронов распада производилась на ЭВМ методом наименьших квадратов. Для обработки использовалось выражение

$$N(t) = N \{ 1 + a \cos(\omega t + \delta) \} \exp(-t/\tau^2) + C,$$

где  $N(t)$  - число отсчетов в канале анализатора в момент времени  $t$ ,  $\tau$  - время жизни мюона,  $a$  - коэффициент асимметрии электронов распада,  $\delta$  - начальная фаза, обусловленная геометрией установки,  $C$  - постоянный во времени фон,  $\omega$  - частота прецессии спина мюона в магнитном поле. При обработке варьировались величины  $N$ ,  $t$ ,  $a$ ,  $\delta$ . Значение  $CN^{-1}$  не превосходило нескольких процентов.

Для оценки ожидаемой величины остаточной поляризации в веществах, содержащих кислород и углерод, следует знать вероятность посадки мюонов на эти атомы. Исследование относительных вероятностей захвата отрицательных мюонов атомами, входящими в состав химического соединения, представляет также самостоятельный интерес. Измеряя время жизни мюонов, можно определить эту величину, но такой метод обычно используют (см., например, <sup>4/</sup>), когда времена жизни  $\tau$ , компонент соединения сильно различаются. В других случаях вероятность посадки определяется по интенсивности мезорентгеновских линий <sup>5/</sup>.

Однако для спиртов отношение посадки на атомы кислорода и углерода неизвестно.

Используя то обстоятельство, что атомный захват в спиртах происходит на легкие атомы, времена жизни мюона в которых ( $\tau_c = 2,045 \pm 0,005$  мксек и  $\tau_0 = 1,84 \pm 0,01$  мксек) отличаются лишь на 10%, двухкомпонентную кривую распада с  $\tau_c$  и  $\tau_0$  с хорошей точностью можно аппроксимировать кривой с  $\tau$ , величина которого зависит от  $\tau_c$  и  $\tau_0$  и от числа образовавшихся мезоатомов  $N_c$  и  $N_0$ :

$$N\tau^{-1} = N_c\tau_c^{-1} + N_0\tau_0^{-1}; \quad N = N_0 + N_c.$$

Отсюда следует, что доля мюонов, захваченных атомами кислорода, может быть определена экспериментально  $b = N_0 N^{-1} = \tau_0 \tau^{-1} (\tau_c - \tau)(\tau_c - \tau_0)^{-1}$ . Значения  $b$  так же, как и  $\tau$ , измеренные для ряда алифатических спиртов, даны в таблице 1.

В выражении для  $b$  не учитывается вклад от водорода, поскольку, как показали опыты /6/, захват мюонов химически связанным водородом подавлен в спиртах более чем в сто раз. Этот же вывод следует из наших измерений времени жизни отрицательных мюонов в углеводородах; например, в бензole время жизни  $\tau = 2,04 \pm 0,007$  мксек не отличается от  $\tau_c$ .

Оценим ожидаемое значение вероятности  $b$  посадки мюонов на кислород. Полагаем, что в химическом соединении типа  $z'_k z_m H_n$  спар-  
ведлив  $z$ -закон Ферми-Теллера /6/ на стадии захвата мюонов из непре-  
рывного спектра в дискретный, т.е. полная вероятность обнаружить  
захваченный мюон в какой-либо области молекулы пропорциональна числу  
электронов в этой области. Естественно полагать, что мюоны, попав-  
шие на водород, перехватываются химически связанными с ними атома-  
ми  $z$  или  $z'$ . Тогда доля мюонов  $b$ , захваченных атомами кислорода,

Таблица I Время жизни отрицательных мюонов  $\bar{\mu}$  в спиртах и

доля  $b$  мюонов, захваченных на атомы кислорода

вещество	$\bar{\mu}$ , мксек	$b$	$b_1$	$b_2$	$b_3$
$\text{CH}_3\text{OH}$	$1,86 \pm 0,01$	$0,89 \pm 0,06$	$0,50$	$0,57$	$0,55$
$\text{C}_2\text{H}_5\text{OH}$	$1,96 \pm 0,01$	$0,41 \pm 0,06$	$0,35$	$0,40$	$0,39$
$\text{C}_3\text{H}_7\text{OH}$	$1,95 \pm 0,014$	$0,42 \pm 0,07$	$0,26$	$0,31$	$0,30$
$\text{C}_4\text{H}_9\text{OH}$	$1,99 \pm 0,014$	$0,23 \pm 0,07$	$0,21$	$0,25$	$0,24$
$\text{C}_5\text{H}_{11}\text{OH}$	$1,98 \pm 0,014$	$0,28 \pm 0,07$	$0,18$	$0,21$	$0,21$

для ряда спиртов может быть вычислена; значения приведены в таблице 1. Из сравнения  $b_1$  с  $b$  видно, что доля мюонов, захваченных на кислород, в среднем в  $1,44 \pm 0,13$  раза больше, чем это следует из соотношений, полученных на основе  $z$ -закона. Если вообще не учитывать водород при посадке мюонов, то доля мюонов  $b_2$ , захваченных кислородом, меньше экспериментальных значений в среднем в  $1,24 \pm 0,11$  раза (см. таблицу 1).

Оценим величину  $b$ , используя модель больших мезомолекул<sup>/6/</sup>. Согласно этой модели, заметная доля  $a(z)$  мезонов может захватиться на мезомолекулярные уровни, лежащие в области валентных электронов. Посадка с этих уровней на изолированные уровни отдельных атомов происходит пропорционально  $z^2$  этих атомов. Поскольку нас интересует захват атомами  $\text{C}$  и  $\text{O}$  в спиртах, при вычислении  $a(z)$  необходимо принимать во внимание помимо связей водорода с этими атомами также связи между этими атомами. Тогда для спиртов  $\text{C}_k\text{H}_{n+1}\text{OH}$  выражение  $a(z)$  вместо используемого в<sup>/6/</sup> приобретает вид:

$$a(z) = [a_L n + a_{CO} + a_{CC} (k-1)] (6k + n + 8)^{-1}.$$

Коэффициенты  $a$  учитывают, какая доля из двух электронов, осуществляющих каждую валентную связь, относится к общим орбитам. Для связей  $\text{CH}$  и  $\text{OH}$  из<sup>/6/</sup>  $a_L = 1,3$ . Значения  $a_{CO}$  и  $a_{CC}$  могут отличаться от этой величины, однако положим их равными  $a_L$ , поскольку величина  $b$  не очень чувствительна к значению  $a_L$  (например, его увеличение с 1,3 до 2 увеличивает  $b$  на 5%). Вычисленные значения  $b$ , обозначенные  $b_3$ , приведены в таблице 1; при этом предполагалось, что для доли  $[1-a(z)]$  посадка мезонов следует  $z$ -закону. Из таблицы видно, что эти величины  $b_3$  также в среднем в  $1,29 \pm 0,11$  раза меньше экспериментальных значений. Таким образом, экспериментально наблюдается большая величина  $b$ , чем это следует из различных оценок. Возможно от-

носительно более частая посадка мюонов на кислород обусловлена /4/ значительной его электроотрицательностью.

Деполяризация в спиртах исследована нами в зависимости от молекулярного веса спиртов, концентрации этилового спирта в воде и от температуры (в метиловом спирте). Измеренный коэффициент асимметрии электронов распада для разных спиртов приведен в таблице 2. Из таблицы видно, что асимметрия растет с молекулярным весом спирта (увеличение числа углеродных атомов) от  $0,65 \alpha_c$  до  $\approx \alpha_c$  ( $\alpha_c$  - коэффициент асимметрии в графите) и довольно велика.

Значительная ненулевая асимметрия может быть объяснена, если существуют механизмы, приводящие к компенсации параметризма электронных оболочек мезоатомов бора и азота, образующихся при захвате мюонов атомами углерода и кислорода. Такая компенсация должна происходить за времена, короче времени сверхтонкого взаимодействия электронного и мюонного спинов ( $\leq 10^{-12}$  сек) и может быть обусловлена химическими взаимодействиями мезоатома<sup>/2/</sup> с образованием диамагнитных соединений. Подобные механизмы действуют при образовании мезоатомов в воде, о чем свидетельствует температурная зависимость деполяризации<sup>/7/</sup>. Измеренное нами значение остаточной поляризации в метиловом спирте при  $300^{\circ}\text{K}$  составляет  $0,0334 \pm 0,0022$ , а при азотной температуре уменьшается до  $0,0174 \pm 0,0031$ , показывая ту же тенденцию, что и в воде.

Можно оценить значение остаточной поляризации в спирте как функцию числа атомов углерода и кислорода, если использовать данные, которые приведены выше в таблице 1, о посадке мюонов на атомы **C** и **O**. Будем полагать, что остаточная поляризация мюонов в атомах кислорода и углерода, входящих в состав молекул спирта, такая же как в графите и в атомах кислорода воды. Фактически это значит, что мы полагаем несущественным возможное различие в механизме компен-

Таблица 2 Значения коэффициентов асимметрии электронов распада при остановке отрицательных мюонов в спиртах.  
Приведены также значения для воды и графита

вещество	$\alpha_{\text{эксп.}}$	$\alpha$	$\alpha_1$
$\text{CH}_3\text{OH}$	$0,0344 \pm 0,0022$	$0,0233$	$0,0350$
$\text{C}_2\text{H}_5\text{OH}$	$0,0310 \pm 0,0022$	$0,0266$	$0,0384$
$\text{C}_3\text{H}_7\text{OH}$	$0,0408 \pm 0,0028$	$0,0362$	$0,0405$
$\text{C}_4\text{H}_9\text{OH}$	$0,0490 \pm 0,0028$	$0,0416$	$0,0415$
$\text{C}_5\text{H}_{11}\text{OH}$	$0,0467 \pm 0,0028$	$0,0396$	$0,0430$
$\text{H}_2\text{O}$	$0,0203 \pm 0,0015$		
С/графит/	$0,0480 \pm 0,0010$		

сации парамагнетизма электронных оболочек и динамики их перезаполнения электронами в атомах кислорода воды и спирта, и в атомах углерода в графите и в спиртах. При этих предположениях коэффициент асимметрии  $a$  в спиртах определяется соотношением  $a = (1-b)a_c + b a_0$ , где величина  $b$  определяет долю мюонов, захваченных атомами кислорода,  $a_0$  - коэффициент асимметрии для воды. Величины  $a$  и  $a_c$  для значений  $b$  и  $b_c$ , из табл. 1 приведены в табл. 2. При выбранных значениях  $a_c$  и  $a_0$  чувствительность  $a$  к величине  $b$  не очень сильная.

Модель больших мезомолекул косвенным образом здесь учтена тем, что для  $a_0$  взято экспериментальное значение для воды, где посадка мюонов на общемолекулярные уровни могла дать свой вклад в величину  $a_0$ . Более прямой учет модели больших мезомолекул, помимо предположений о значениях коэффициентов  $a$  для вычисления  $b$ , требует знаний величины остаточной поляризации при захвате на общемолекулярный уровень, его изменения при переходе мюона на разделенные уровни мезоатомов, а в настоящее время можно сделать лишь оценки этих величин<sup>1/</sup>.

Рост величины асимметрии электронов распада в спиртах при увеличении молекулярного веса спирта может быть также следствием увеличения среднего молекулярного веса радикалов, возникающих при образовании мезоатома, уменьшения скорости их диффузии, и, следовательно, увеличения их концентрации и тем самым роста вероятности вступления мезоатома в химическую реакцию, т.е. компенсации парамагнетизма электронной оболочки мезоатома.

Для оценки роли отмеченных выше эффектов была измерена зависимость остаточной поляризации от концентрации этилового спирта в воде. Эти данные приведены в таблице 3. Там же даны величины, вычисленные в предположении об аддитивности коэффициентов асимметрии в этиловом спирте и воде с учетом их доли в растворе (по весу). Хотя

Таблица 3. Концентрационная зависимость деполяризации для раствора этилового спирта в воде

концентрация спирта /по весу/ в %	$a_{\text{эксп.}}$	$a$
0	$0,0203 \pm 0,0015$	$0,0203$
10	$0,0230 \pm 0,0034$	$0,0214$
20	$0,0258 \pm 0,0036$	$0,0224$
30	$0,0292 \pm 0,0035$	$0,0236$
100	$0,0310 \pm 0,0022$	$0,0310$

экспериментальные данные указывают на более быстрый рост асимметрии, чем это следует из увеличения концентрации спирта, но ошибки велики и отклонение от аддитивности нельзя считать достоверным; необходимо дальнейшее уточнение экспериментальных данных.

Измеренные температурные зависимости величины  $\alpha$  (в долях  $\alpha_C$ ) в бензоле и стироле показаны на рис. 1 и 2.

Температурная зависимость величины  $\alpha \alpha_C^{-1}$  в стироле, бензоле и этиловом спирте может быть интерпретирована на основе модели<sup>2/</sup>, учитывающей химические взаимодействия мезоатома со свободными радикалами, образующимися вблизи мезоатома при разрушении молекул среды за счет ионизации в треке останавливающегося мюона, торможения Оже-электронов, испускаемых при мезоатомных переходах, и за счет энергии торможения осколков молекулы при ее "кулоновском взрыве". Первые два процесса обеспечивают наличие свободных электронов вблизи мезоатома (мезобора  $\mu_B$  в случае посадки мюона на углерод) и поэтому он имеет возможность полностью набрать электронную оболочку. То обстоятельство, что значение  $\alpha \alpha_C^{-1}$  растет с ростом температуры, доказывает наличие парамагнитной электронной оболочки у нейтрального мезобора (терм основного состояния  $P_{1/2}$ ) перед его вступлением в химические реакции.

<sup>2/</sup> было показано, что скорость вступления мезоатома  $\mu_N$  в химические реакции  $\lambda_0$  в воде по порядку величины сравнима с частотой  $\nu$  переходов между состояниями его сверхтонкой структуры. В этом случае для описания температурных зависимостей можно воспользоваться выражением

$$\frac{\alpha}{\alpha_C} = \frac{\alpha_0}{\alpha_C} \cdot \frac{\lambda}{\lambda_0} [F + (1-F) \ln \frac{\lambda_0}{2\nu}],$$

где  $\alpha_0$  - коэффициент асимметрии к концу мезоатомного каскада, но до начала действия механизма парамагнитной деполяризации<sup>8/</sup>, харак-

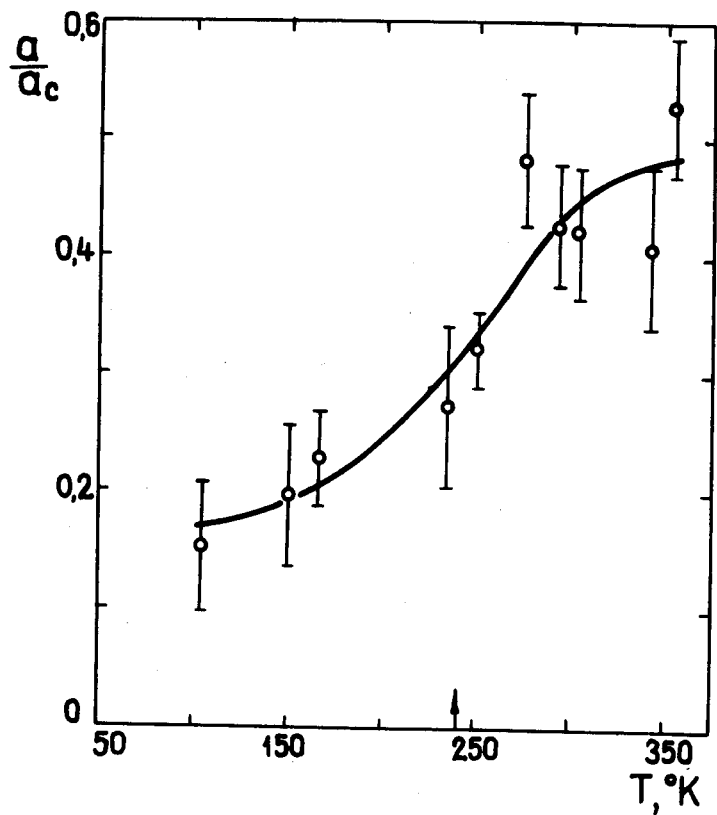


Рис. 1. Зависимость остаточной деполяризации в стироле от температуры. Кривая рассчитана при  $F = 0,33$ .

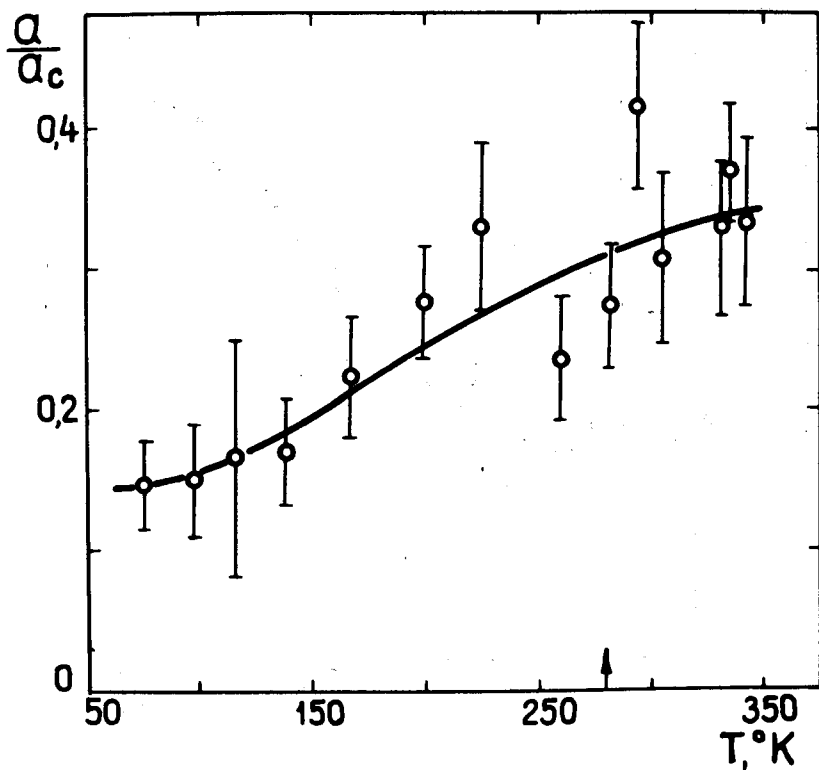


Рис. 2. Зависимость остаточной деполяризации в бензоле от температуры. Кривая рассчитана при  $F = 0,33$ .

теризующейся временем  $\nu^{-1}$ ,  $\lambda$  – скорость вступления мезоатома в химические реакции с образованием диамагнитных продуктов  $F = \frac{2}{1+[(2J+1)^2]^{1/8}}$ ,  $J$  – полный момент электронной оболочки мезоатома.

Выражение, подобное этому, может быть также написано по аналогии с формулой для случая химических реакций атомарного мюония<sup>9/</sup>. Эта теория построена на основе спиновой матрицы плотности мюония; она включает зависимость поляризации от величины продольного и поперечного магнитного поля и от частоты релаксации спина электрона мюония из-за взаимодействия с окружающей средой. Однако в исследуемых нами веществах и экспериментальных условиях указанные факторы не играют существенной роли.

Если считать, что температурная зависимость  $a_C^{-1}$  обусловлена температурной зависимостью  $\lambda$  и  $\lambda_0$  (одинаковой), т.е. считать, что  $\lambda = \Lambda(\frac{T}{300})^n$ , где  $\Lambda$  – значение  $\lambda_0$  при температуре  $T = 300^{\circ}\text{K}$ , то можно написать

$$\frac{a}{a_C} = \frac{a_0}{a_C} \cdot \frac{\lambda}{\lambda_0} [F + (1-F) \ln \frac{\Lambda}{2\nu} (\frac{T}{300})^n].$$

Значение параметра  $F$  для мезобора может меняться в пределах от  $1/2$  до  $1/3$  в зависимости от того, имеет ли место парамагнитная деполяризация только в основном состоянии электронной оболочки мезобора, или она имеет место для случая ее возбужденных состояний в процессе набора электронов мезоатомом. Параметры  $\Lambda$  и  $n$  определяют форму перехода между постоянными уровнями деполяризации до и после срабатывания механизма парамагнитной деполяризации (параметры  $F$  и  $\frac{a_0}{a_C} \frac{\lambda}{\lambda_0}$ ).

Параметры  $\frac{a_0 \lambda}{a_c \lambda_0}$ ,  $\Lambda$  и  $n$  определялись для бензола и стирола

путем варьирования методом наименьших квадратов с помощью ЭВМ при заданных значениях  $F$ . Для случая стирола наилучшие результаты получены для  $F = 1/3$ . Значения параметров приведены в таблице 4, а расчетная кривая - на рис. 1. Описание экспериментальных данных с помощью такого набора параметров представляется весьма уловительным несмотря на то, что не принимался во внимание возможный скачок  $a/a_c$  в точке фазового перехода. Если же бралось значение  $F > 0,4$ , ошибки всех параметров становились много больше их значений. Значения параметров изменяются незначительно при изменении  $F$  от 0,33 до 0,40. Поэтому невозможно сделать каких-либо определенных заключений относительно состояния электронной оболочки мезобора во время действия механизма парамагнитной деполяризации.

Вычисляя значение  $n$  для  $P_{1/2}$ -состояния электронной оболочки мезобора, можно получить значение  $\Lambda$ , приведенное в таблице 4. Учитывая, что допустимы значения  $F < 1/2$ , полученное значение  $\Lambda$  следует считать заниженным.

Аналогичным образом обрабатывались данные для бензола. Значения параметров при  $F = 1/3$  приведены в таблице 4 и на рис. 2. В случае бензола экспериментальные точки одинаково хорошо описываются при  $F = 0,2 - 0,4$ .

Обработка части экспериментальных данных при отрицательных температурах (до точки фазового перехода) для стирола и бензола приводит к значениям параметров, не отличающимся от показанных в табл. 4, но с гораздо большими ошибками.

Препполагая одинаковое значение  $a_0$  для стирола и бензола, можно интерпретировать большие значения  $\frac{a}{a_c}$  в стироле как результат большего вклада реакций, ведущих в диамагнитный канал. Значения  $\Lambda$  для стирола и бензола получаются одинаковыми, хотя следовало бы ожи-

Таблица 4. Результаты обработки температурной зависимости остаточной поляризации в стироле и бензоле

вещество	$\frac{\alpha_e \cdot \lambda_0}{\lambda} \cdot \frac{1}{n}$	$\frac{\Lambda}{2\sqrt{n}}$	$n$	$\chi^2$	$\Delta \cdot 10^{-6} \text{ сек}^{-1}$
стирол	$2,04 \pm 0,22$	$1,2 \pm 0,5$	$3,7 \pm 1,3$	5,1	$1,0 \pm 0,4$
бензол	$2,75 \pm 0,52$	$1,2 \pm 0,8$	$1,9 \pm 0,6$	7,4	$1,0 \pm 0,7$

дать меньшего значения этого параметра для случая бензола, поскольку плотность радикалов вблизи мезоатома должна быть меньше из-за быстрой миграции энергии при межмолекулярных взаимодействиях из зоны разрушения среды, которая (миграция) является характерным явлением для бензола<sup>/10/</sup>. Однако большие ошибки в определении  $\Lambda$  могут быть причиной того, что эффект миграции энергии не заметен.

В заключение сделаем некоторые выводы:

1. Экспериментально измеренное значение доли мюонов, захваченных атомами кислорода, в ряде алифатических спиртов оказывается больше, чем это следует из оценок с использованием  $\pi$ -закона и модели больших мезомолекул, что обусловлено, вероятно, большой электроприятельностью кислорода.

2. Измерено растущее с ростом молекулярного веса спиртов значение остаточной поляризации, большая величина которой обусловлена химическими взаимодействиями мезоатомов.

3. Наблюдалась температурная зависимость остаточной поляризации в этиловом спирте, стироле и бензоле. На основе этой зависимости вычисляются параметры химических взаимодействий мезоатомов в углеводородах.

Авторы выражают искреннюю признательность Г.Г.Мясищевой за помощь в проведении эксперимента и М.В.Фронтасьевой за помощь в обработке результатов.

#### Л и т е р а т у р а

1. А.А.Джураев, В.С.Евсеев, Г.Г.Мясищева, Ю.В.Обухов, В.С.Роганов, Препринт ОИЯИ, Р1-6020, Дубна, 1971.
2. А.А.Джураев, В.С.Евсеев. Препринт ОИЯИ, Р14-6023, Дубна, 1971.
3. А.И.Бабаев, М.Я.Балап, Г.Г.Мясищева, Ю.В.Обухов, В.С.Роганов, В.Г.Фирсов. ЖЭТФ, 50, 877, 1968.

4. В.Д. Бобров, В.Г. Варламов, Ю.М. Грашин, Б.А. Долгошевин, В.Г. Кириллов-Угрюмов, В.С. Роганов, А.В. Самойлов, С.В. Сомов. ЖЭТФ, 48, 1197, 1965.
5. В.Г. Зинов, А.И. Мухин, А.Д. Конин. ЯФ, 2, 859, 1965.
6. С.С. Герштейн, В.И. Петрухин, Л.И. Пономарев, Ю.Д. Прокошкин. УФН, 97, 3, 1969.
7. В.С. Евсеев, В.С. Роганов, В.А. Черногорова, Г.Г. Мясищева, Ю.В. Обухов. ЯФ, 8, 741, 1968.
8. В.А. Джрабашян. ЖЭТФ, 39, 277, 1959.
9. И.Г. Ивантер, В.П. Смилга. ЖЭТФ, 54, 558 (1968); 55, 1521 (1968).
10. И.В. Верещинский, А.К. Пикаев. Введение в радиационную химию. АН СССР, М, 1963.

Рукопись поступила в издательский отдел  
31 декабря 1971 года.